

Li - B

1933

186

Ttr (LiF, LiBO₂, 2LiF·LiBO₂)

Китайгородский И.И.,
Попова Т.А., Ботвинский О.К.
Н.Физ. хими, 4, 380-2 / 1933/

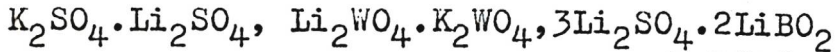
Термический анализ системы ...

Be



1953

1587



(Tm)

Bergman A.G., Kislova A.J., Posypaiko V.I.

Doklady Akad. Nauk SSSR, 1953, 88,
815-18

Complex formation and ...

Be

F

C.A., 1953, 120901

N-azudr.

Biedehr, Museo.

1954

$\text{LiB}(\text{N}_3)_4$

Witterig E., Michael H.

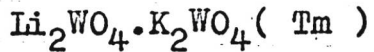
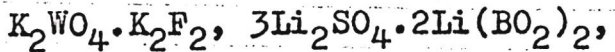
Z. Naturforsch., 1954, 9b, N° 4,
499.

О растворимости в эфире
сплава из кислого $\text{LiB}(\text{N}_3)_4$.

X-55-4-11454.

1955

371



Кислова А.И., Посыпайко В.И.,
Бергман А.Г.

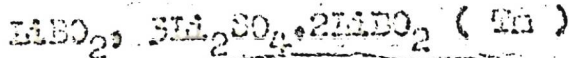
Ж. физ. химии, 1955, 29, № 2,
359-367

Вольфраматный и сульфатный ...

Be

1956

367



Поспакто В.И., Кислова А.И.,
Боргман А.Г.

Хим.неорганический, 1956, Т. 24, 806-819
Тройные системы II

ДС

1959

372

Tm($\text{LiBH}_4 \cdot \text{NH}_3$, $\text{LiBH}_4 \cdot 2\text{NH}_3$, $\text{LiBH}_4 \cdot 3\text{NH}_3$,
 $\text{LiBH}_4 \cdot 4\text{NH}_3$)

Sullivan E.A., Johnson S.

J. Phys. Chem., 1959, 63, N 2,
233-238

The lithium ...

Be

1961

5B42. О двойных боронитридах металлов. Goubeau J., Anselment W. Über ternäre Metall-Boronitride. «Z. anorgan. und allgem. Chem.», 1961, 310, № 4-6, 248—260 (нем.; рез. англ.).—Нагреванием смесей активного BN, полученного аммонолизом BCl_3 с Li_3N , Ca_3N_2 и Ba_3N_2 в кварцевой трубке до 700 — 1000° получены боронитриды Li_3BN_2 (I), $\text{Ca}_3\text{B}_2\text{N}_4$ (II) и $\text{Ba}_3\text{B}_2\text{N}_4$ (III). Все 3 в-ва легко гидролизуются во влажном воздухе с выделением NH_3 и растворяются без нагревания в разб. HCl. Соединение I имеет плотность 1,75 и т. пл. $870 \pm 5^\circ$. Индивидуальность I—III доказана сравнением их порошкограмм с порошкограммами исходных в-в. В ИК-спектрах I, II и III имеются интенсивные линии при 1640 — 1690 см^{-1} (ν_2), отвечающие асимметричному вал. кол. иона $[\text{N}-\text{B}-\text{N}]^{3-}$. У II проявилась полоса 578 см^{-1} (ν_3), соответствующая дважды вырожденному деф. кол. боронитрид-иона. Симметричное вал. кол. ν_1 активно только в спектре ком. расс. Неудачную попытку получить аналогичные соединения K, La, Mg и Ga авторы объясняют тем, что устойчивые боронитриды образуют только катионы с ионным потенциалом 1,5—2,0.

В. Ресоловский

Li₃BN₂
Ca₃B₂N₄
Ba₃B₂N₄

x. 1962.5

1964

LiB(OH)₄) 11 Б362. Кристаллическая структура LiB(OH)₄.
Höhn E. Die Kristallstruktur des LiB(OH)₄. «Z. Chem.», 1964, 4, № 11, 431—432 (нем.)

Проведено рентгенографич. исследование (метод Вейс-сенберга, λ Си-Ка) монокристаллов $\text{LiB}(\text{OH})_4 \cdot \text{LiBO}_2 \cdot 2\text{H}_2\text{O}$. Параметры ромбич. решетки: $a = 9,16$, $b = 7,95$, $c = 8,54$ Å, ρ (выч.) 1,825, $Z = 8$, ф. гр. $Pbca$. Модель структуры получена из трехмерных синтезов Паттерсона и Фурье и уточнена методом разностных синтезов электронной плотности до $R(hkl) = 0,09$. Оба сорта катионов в структуре образуют однотипные координационные полизэдры — тетраэдры $\text{B}(\text{OH})_4$ и $\text{Li}(\text{OH})_4$. Каждый тетраэдр окружен 4 полизэдрами другого сорта, связанными с ним через общие вершины. В итоге возникает трехмерный каркас, в котором выделяются бесконечные спиральные цепи, образованные, чередующимися Li - и B -тетраэдрами и проходящие вдоль винтовых осей в направлении [100], [010] и [001]. Предполагается, что дополнительную прочность каркасу придают существующие в нем водородные связи. А. Воронков

Х. 1965. 11

1964

LiB(OH)₄
Trihydras

Crystal structure of LiB(OH)₄. E. Hoehne (Deut. Akad. Wiss., Berlin). Z. Chem. 4(11), 431-2(1964)(Ger). A polyhedral structure where Li and B are both enclosed in O tetrahedra is found. The Li tetrahedron and B tetrahedron alternate in the structure, while they share common corners and form spirals in such a way that the spiral axes are parallel to the 3 crystallographic axes. X-ray data show a space group *Pbca* with $a = 9.16$, $b = 7.95$, $c = 8.54$ Å.; $Z = 8$. The calcd. d. is 1.825.

D. H. De Voe

C.A. 1965 • 62-8
8463 e

1965

LiB(OH)₄

13 Б387. Применение системы линейных уравнений структурных факторов для определения структуры LiB(OH)₄. Kutschabsky L., Höhne E. Application of a system of linear structure-factor equations to the structure determination of LiB(OH)₄. «Acta crystallogr.», 1965, 19, № 5, 747—750 (англ.)

Показано, что если известны две координаты положения атома, то, используя систему линейных ур-ний структурных факторов, можно определить и третью координату. Этим методом определена координата z атомов в структуре LiB(OH)₄. Отмечается, что полученные значения координат атомов являются приближенными и точность их возрастает с увеличением числа рассматривающих уравнений.

Р. Имамов

X. 1966. 13

IX -988

1966

LiF · B₂O₃ ; 2BeF₂ · 3B₂O₃ (T_{ur})

Беруев С.И., Никонова И.Н.,

Ж. неорг. химии, 1966, 11, 910-915

Б



есть опис

Li-B
MgLiBO₃

1966

34333p Chemistry and constitution of borates. XV. Formation and preparation of mixed monoborates of the type $MLiBO_3$ ($M = Co, Zn, Mn$). H. A. Lehmann and H. Schadow (Tech. Univ., Dresden, Ger.). *Z. Anorg. Allg. Chem.* 348 (1-2), 42-9(1966)(Ger); cf. *CA* 65, 14808c. The title salts occurring in the quasibinary systems $MO-LiBO_2$ ($M = Co, Zn, Mn$), were investigated. Like $MgLiBO_3$, (*CA* 56, 15117e) the title compds. melted incongruently with pptn. of MO . They were prep'd. by heating CoO , ZnO , and MnO with excess $LiBO_2$ at 800° (in the absence of O in the case of Co and Mn) followed by the extn. of the unreacted $LiBO_2$ by MeOH. IR spectroscopic data are given for $MgLiBO_3$, $MnLiBO_3$, $CoLiBO_3$, and $ZnLiBO_3$. The marked absorption between 1200 and 1300 cm^{-1} suggests the presence of BO_3^{3-} . BTJG

C.A. 1967. 66.8

Литовский
3 12 Б744. Промежуточные соединения в тиогидролизе борогидрида лития. Spielvogel B., Rothberg E. F. Intermediates in the thiohydrolysis of lithium borohydride. «Chem. Communns», 1966, № 21, 765—766 (англ.)

Исследовано взаимодействие LiBH_4 с H_2S в присутствии и в отсутствие O_2 . С помощью спектров ЯМР показано образование в данной р-ции 2 промежуточных соединений. В р-ции LiBH_4 с H_2S в ТГФ при -22° в присутствии избытка H_2S скорость выделения H_2 резко понижается после того, как 1 моль H_2 выделится на 1 моль взятого LiBH_4 . Продуктом р-ции в данных условиях является LiHSBH_3 (I). При повышении т-ры до 0° процесс выделения H_2 продолжается; при этом образуется $\text{Li}(\text{HS})_2\text{BH}_2$ (II). Образование II связано как с дальнейшим тиогидролизом I, так и с диспропорционированием I на II и LiBH_4 . Авторы полагают, что в изученной системе могут образоваться димеры, тримеры и полимеры SBH_2^- .

Г. Занков

Х. 1967. 12

$\frac{Li_2 - B}{Li_4 P_2 O_7}$

$4 Li_2 BO_2$

BP 4336-X

1969

T_m

(129408j) Ternary mutual system of lithium and sodium metaborates and pyrophosphates. Bergman, A. G.; Bondareva, D. I. (USSR). *Zh. Neorg. Khim.* 1969, 14(9), 2548-52 (Russ). Triangulation is observed in the $Li_2 Na_2 P_2 O_7$, BO_2 system due to formation of two independent complexes, $Li_4 P_2 O_7 \cdot 4 LiBO_2$, m. 1082° , and $Na_4 P_2 O_7 \cdot 4 NaBO_2$, m. 986° . The system is cut into 4 ternary systems having one intersecting eutectic curve each (eutectic, m.p., $(LiBO_2)_4$, $(NaBO_2)_4$, $Li_4 P_2 O_7$, $Na_4 P_2 O_7$ (all in equiv. %): I, 638° , 54.5, 42.5, 3, —; II, 734° , 2, 67, 31, —; III, 712° , 18, —, 9, 73; IV, 696° , 2, —, 39, 59; and 3 eutectic points: e_1 , 717° , 13.5, —, 15.5, 71; e_2 , 834° , 41, 9, —, 50; and e_3 , 753° , 38.5, 43, —, 18.5. Crystn. surface of the system is constructed.

HMJR

C.A. 1969.

71.26

+1

$Na_4 P_2 O_7 \cdot 4 NaBO_2$

X

10 Б991. Термический анализ тройной системы из сульфата, метафосфата и метабората лития. Бергман А. Г., Матросова В. О. Термічний аналіз потрійної системи із сульфату, метафосфату і метаборату літію. «Укр. хім. ж.», 1969, 35, № 11, 1134—1137 (укр.); «Укр. хим. ж.», 1969, 35, № 11, 1142—1145 (руск.).

Визуально-политермическим методом исследована система Li_2SO_4 , PO_3 , BO_2 . На стороне $(\text{LiPO}_3)_2$ — $(\text{LiBO}_2)_2$ установлено два конгруэнтно плавящихся соединения состава $\text{LiBO}_2 \cdot 7\text{LiPO}_3$ и $\text{LiPO}_3 \cdot 4\text{LiBO}_2$ и одно инконгруэнтно плавящееся соединение вероятного состава $\text{LiPO}_3 \cdot \text{LiBO}_2$. На стороне Li_2SO_4 — $(\text{LiBO}_2)_2$ имеется конгруэнтно плавящееся соединение $3\text{Li}_2\text{SO}_4 \cdot 2\text{LiBO}_2$. Выявлена область расслоения между 45 и 85% Li_2SO_4 . Установлено 9 полей кристаллизации, из которых три принадлежат компонентам системы, одно — β -превращению Li_2SO_4 , три — конгруэнтно плавящимся соединениям.

Автореферат

89-X-7538

X. 1970 .10

Li₂BO₃ · 7 Li₂PO₃ Li - B - coeq. 1969

48113c Thermal analysis of ternary systems of lithium sulfate, metaphosphate, and metaborate. Bergman, A. G.; Matrosova, V. A. (Inzh.-Stroit. Inst., Rostov-on-Don, USSR). Ukr. Khim. Zh. 1969, 35(11), 1142-5 (Russ). A phase diagram for the Li⁺||SO₄²⁻, PO₃⁻, BO₂⁻ system is given. Three congruent melting compds. are formed: Li₂BO₃ · 7 Li₂PO₃, m. 750°; Li₂PO₃ · 4 Li₂BO₃, m. 1042°; and 3Li₂SO₄ · 2 Li₂BO₃, m. 751°. The incongruently melting Li₂PO₃ · Li₂BO₃ is also formed. There is a region between 45 and 85% Li₂SO₄ in which 2 liq. phases are present. The ternary invariant points are eutectics m. at 504° and 526° contg. Li₂SO₄ 35 and 32, (Li₂PO₃)₂ 60 and 44.5, and (Li₂BO₃)₂ 5 and 23.5 equiv. % for which the phases in equil. are (Li₂PO₃)₂, Li₂SO₄, and Li₂BO₃ · 7 Li₂PO₃ and Li₂SO₄, Li₂BO₃ · 7 Li₂PO₃, and Li₂PO₃ · Li₂BO₃, resp. There is a peritectic point at 546° and Li₂SO₄ 33.5, (Li₂PO₃)₂ 37.5, and (Li₂BO₃)₂ 29 equiv. % with phases Li₂SO₄, Li₂PO₃ · Li₂BO₃, and Li₂PO₃ · 4 Li₂BO₃ present.

John Howe Scott

C.A. 1970.

42.10

B9-X-7538

$\text{Li}_4\text{P}_2\text{O}_7 \cdot 4\text{LiBO}_2 \cdot \text{Na}_4\text{P}_2\text{O}_7 \cdot 4\text{NaBO}_3$ (Tm) 1969
10

Бергман А.Г., Бондаревъ 22.
У 4336

Ж. неорг. химии, 1969, 14, № 2548-2552

Исследование тройной взаимной
системы из метаборатов и
нирофосфатов щелочей и щелочн.

РЖХ Число, 1970

561180

○ (б) (9)

Система $Zn_{1-x}P_2O_7 - (Zn_2B_4O_7)_2 -$ 10 1965
- $(Zn_2SO_4)_2$ (фу. диаграмма)

Бершан A. T.; Матросова В. А.

Ж. неорг. хим. 1969, 14(9), 2587-8.

Система $Zn_{1-x}SO_4, P_2O_7, B_4O_7$.

х 84676

Б

Ф

О

CA, 1969, Y1, N26, 129, 3249

11 Б1313. Взаимодействие метафосфатов и метаборатов при кристаллизации из расплавов. Бергман А. Г.,
Михалкович Л. Н. «Ж. неорган. химии», 1969, 14,
№ 11, 3163—3165

1969

Li—B—шаг

Методами визуально-полиграфич. и термографич. анализов изучены системы MPO_3 — MBO_2 (M —Li, K). В системе $LiPO_3$ — $LiBO_2$ отмечено существование двух конгруэнтно плавящихся фаз: A (т. пл. 740°) и C (т. пл. 1038°) и фазы B с т-рой перитектич. разложения 730° (44 мол. % $LiBO_2$). Эвтектич. точки отвечают составам, содержащим 5; 28,5 и 96 мол. % $LiBO_2$ с т. пл. соотв. 628° ; 647° и 810° . В системе KPO_3 — KBO_2 кристаллизуются 2 конгруэнтно плавящиеся фазы: L (т. пл. 712°) и M (т. пл. 880°). Эвтектич. точки отвечают составам, содержащим 13; 31,5 и 77,5 мол. % KBO_2 с т. пл. соотв. 684° ; 600° и 760° . По данным рентгенографич. анализа в областях фаз B ; C и M кристаллизуются соотв. $Li_4P_2O_7$; Li_3PO_4 и K_3PO_4 . Неидентифицированные фазы A и L предположительно являются фосфатоборатами.

И. Магидсон

X. 1970.

11

+1



1969

Li₃BN₂

полиморфизм

7 Б958. Соединение Li₃BN₂ при высоких давлениях и температурах. De Vries R. C., Fleischer J. F.

The system Li₃BN₂ at high pressures and temperatures.
«Mater. Res. Bull.», 1969, 4, № 7, 433—441 (англ.)

Исследовано соединение Li₃BN₂ от 10 до 65 кбар при т-рах от 300 до 1900°. Обнаружена область стабильной закаливаемой модификации Li₃BN₂, изученной рентгеновским методом. Предположено существование другой, незакаливаемой модификации высокого давления Li₃BN₂. Обнаруженная модификация Li₃BN₂ находится в равновесии с боразоном (кубич. BN) при образовании ее в системе Li₃N—BN.

С. Чистов

X. 1970. 7

1969

Li₃BN
3 2P
T

33949k System Li₃BN₂ at high pressures and temperatures. DeVries, Robert C.; Fleischer, J. F. (Gen. Elec. Res. and Develop. Center, Schenectady, N.Y.). *Mater. Res. Bull.* 1969, 4(7), 433-41 (Eng). The system Li₃BN₂ was studied at 300-1900° and at pressures of 10-65 kilobars. The stability region of a quenchable high pressure modification, Li₃BN₂(W), was defined, and the data also suggest the possibility of another nonquenchable high pressure modification. Li₃BN₂(W) is the phase which appears to be in equil. with borazon (cubic BN) during growth of this phase from the system Li₃N-BN, and the P-T data obtained on the melting of Li₃BN₂(W) are useful for defining the growth conditions for borazon. RCTT

C.A. 1969

#1.8

~~B₂H₂~~; ~~LiB₂(Li)~~; He Li H 3,10,¹⁹⁶⁹_{11,15}
~~B-H₂~~; ~~LiB₂H₂~~, ~~B₂Li~~; ~~Belle~~ } Xu et al
~~B₂H₂~~; ~~B₂F₂~~; ~~C₂F₂~~; ~~B₂H₆~~ } ^{quartz}_{c6-Ca}

Raufman J.J. IX 866

U.S. Clearinghouse Fed. Sci., Tech.
Inform., AD 1969, AD-851300,
228, pp 16

MB 10

New B.D.K.

Ca 1969

X 5753

Li₃BN₂[T₁₂]

1970

DeVries R.C., Fleischer J.F.

J. Mater. Res. Bull., 1969, 4, N°, 433-441.

E.C.

W.H.

new Li₃BN₂ at high pressures and
temperatures.

M1

Print. 76952

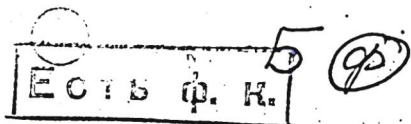
$[B(PeZ_2)_3]_2 \cdot 4, B(PeZ_2)_4 (Tm)$ 10 1970

Fritz G., Pflanner F. 14

Z. anorg. und allg. Chem., 1970,
373, N1, 30-35 (нем.) Σ 4745

Учебное соединение со сб 9364
бор-фосфор.

РНК ЧМ, 1970
19836



LiBB_4 , NaBB_4 , KB_4B_4 , (Tet) 1970
 RB_4B_4 , CsBB_4 X5282
Morano R.T., Shuster E.R.,
Thermochimica Acta, 1970, 1, N°6,
521-7 (avril)

Determination of the rhombic
to cubic transition temperature
of the alkali metal tetrafluoro-
borates using differential ther-
mal analysis CA, 1971, 24, N°10, 464444d

A - 1738

1971

LiB(OH)₄ " gp. (OH_f, OG_f)

Кузбассов В.А., Денисов Т.Н.,
Чуб. АИ СССР. Сп. XVIII,

1971, № 2, 260-264

Л.В

лес опу.

$\text{LiBH}_4 \cdot 2\text{N}_2\text{H}_4 (\text{OH})$ X-9244 1971
Samanos Jacques

Thèse doct. sci. Univ. Claude Bernard
Lyon, 1971, 122 p (франц.)

Изучение соединений борсигидридов
лития и алюминия с гидразином.

РНХУМ, 1975

21B162D



M (P)

reg 2200

$\text{LiCl}\cdot\text{L}$; $\text{LiBr}\cdot\text{L}$; $\text{LiSCN}\cdot\text{L}$; $\text{LiSCN}\cdot\text{2L}$; $\text{LiClO}_4\cdot\text{L}$ | 1974
 $\text{LiClO}_4\cdot\text{4L}$; $\text{LiNO}_3\cdot\text{L}$; $\text{LiBF}_4\cdot\text{L}$; $\text{LiC}_8\text{H}_{13}\text{O}_2\cdot\text{0.2L}$; $\text{Na}_2\text{Y}\cdot\text{L}$.

$\text{NaSCN}\cdot\text{L}$; $\text{NaSCN}\cdot\text{2L}$; $\text{NaClO}_4\cdot\text{L}$ ($\text{L} = [\text{Me}_3\text{N}]_3\text{PO}$) (Tm)

J. Inorg. and Nucl. Chem., 1974, 36, N7, 1459-1460 (see)

Duehr D.C., Kohut J.P. № 8554

Hexamethylphosphoramide solvates
of alkali metal salts

РНХ № 01, 1974

23 B59

○

БСГБ ОРИГИНАЛ

5 (P) 9

M₃B₇O₁₃X (M = Mg, Cr, Mn, Co, Ni, Cu, Zn, Cd, Li; X = Cl, B₂, J, OH, S, Se, Te)
(Tt₂) 1974

Nelmes R.J.

J. Phys. C: Solid State Phys., 1974, 7, N₂₁,
3840-3854 (annual)

?

5 (P)

$\text{LiBH}_4 \cdot \text{N}_2\text{H}_4$, $\text{LiBH}_4 \cdot 2\text{N}_2\text{H}_4$, KY701 1975

$\text{LiBH}_4 \cdot \text{NH}_2\text{N}(\text{CH}_3)_2$ (KP)

Samanos J., Teichner S.J.

Bull. Soc. chim. France, 1975, N1-2, Part I, 31-85

(Франц.)

Установлено, что в соединении $\text{LiBH}_4 \cdot \text{N}_2\text{H}_4$ бор находился в виде амидной группы, а в соединении $\text{LiBH}_4 \cdot \text{NH}_2\text{N}(\text{CH}_3)_2$ в виде аминогруппы и в виде аминогруппы в соединении $\text{LiBH}_4 \cdot 2\text{N}_2\text{H}_4$.

RINN, 1975

17B62

B (P)

5

Li₄B₇O₁₂Cl

1977

6 Б351. Кристаллические структуры и ионная проводимость Li-борацитов. Jeitschko W., Bither T. A., Bierstedt P. E. Crystal structure and ionic conductivity of Li boracites. «Acta crystallogr.», 1977, V 33, № 9, 2767—2775 (англ.)

Осуществлен синтез Li-борацитов $\text{Li}_4\text{B}_7\text{O}_{12}\text{Cl}$ (I), $\text{Li}_4\text{B}_7\text{O}_{12}\text{Br}$ (II) твердых р-ров I—II и $\text{Li}_4\text{B}_7\text{O}_{12}\text{J}$ (III) (полученных взаимодействием B_2O_3 , Li_2O и LiCl , LiBr или LiJ при т-ре 950° К под давл. Аг 3 кбар в случае I и II и 30 кбар в случае III) и их оптич., термич. и рентгенографич. (метод порошка) исследования. В обычных условиях кристаллы I, II и III являются оптически анизотропными и характеризуются псевдокубич., ромбоэдрически искаженными решетками с параметрами a 12,144, 12,190 и 12,273 Å, соотв. Ромбоэдрич. искажения решеток незначительны: I a 12,1410 Å, α 90,083°, II 12,1866, 90,072; ф. гр. $R\bar{3}$. На ДТА кривых от I зафиксировано 2 эндотермич. пика, соотв-щих фазовым превращениям при 310 и 348° К. Для II и III зафиксировано по 1 эндотермич. пiku при т-рах 500 и 540° К соотв. Подробно изучено фазовое разнообразие I. Мон-

*Кристал.
спфукт.*

Ttr

Х, № 1977

дификация, устойчивая в обычных условиях, обозначена α ; модификация, устойчивая в интервале 310—348° К— β ; и устойчивая выше 348° К— γ . Для β установлена кубич. решетка с параметром a 12,161 Å, ф. гр. $P\bar{4}3n$; для γ — кубич. решетка с a 12,167 Å, ф. гр. $F4\bar{3}c$. Определение структур α ($R=0,122$ для 187 отражений), ($0,025$ для 152 отражений) γ ($0,25$ для 179 отражений) проведено по данным рентгенограмм прецессии и монокристального дифрактометра с использованием МНК в анизотропном приближении, при т-рах 298, 328 и 353° К соотв. Все 3 фазы обладают структурами, пр-ными от структуры природного борацита $Mg_3B_7O_{13}Cl$ и отличаются от нее, гл. обр., наличием дополнительного атома Li и вакансиями в положениях атомов O. Друг от друга структуры α , β и γ отличаются положениями атома Li, диффундирующего сквозь каналы в тетраэдрич. каркасе. Измерение ионной проводимости, обусловленной подвижностью атомов Li, проведено в электротехн. ячейке, содержащей 2 Li-амальгамы, разделенные пластинкой $Li_4B_7O_{12}Cl_{0,68}Br_{0,32}$ и для этого состава оно установлено равным $2 \cdot 10^{-6} \text{ ом}^{-1} \cdot \text{см}^{-1}$. Ионная проводимость возрастает в ряду α — β — γ и при 600° К достигает значений, характерных для лучших тв. электролитов.

С. В. Соболева

Li₅[BSi₁₂O₄₀] · 28.5H₂O

1977

87: 173614c Study of the nature of water in some crystal hydrates of pentasubstituted salts of alkali metals of tungstoboric acid by a thermochemical method. Kosmodem'yananskaya, G. V.; Sadykova, M. M.; Spitsyn, V. I. (Mosk. Gos. Univ. im. Lomonosova, Moscow, USSR). *Zh. Neorg. Khim.*

1977, 22(8), 2175-8 (Russ). The heat of dehydration and the kinetics of dehydration of Li₅[BSi₁₂O₄₀]_·28.5H₂O, Na₅[BSi₁₂O₄₀]_·17.5H₂O, K₅[BW₁₂O₄₀]_·16.5H₂O, and Cs₅[BW₁₂O₄₀]_·16.5H₂O were studied. The ΔH values depend on the nature of the cation and the dehydration obeys monomol. reaction kinetics. A substantial part of H₂O in the salts is of zeolitic character.

C.A. 1977. 87. N22

Li₂O-P₂O₅-B₂O₃

1977

(glassy, glass)

87: 59012e Lithium oxide-phosphorus(V) oxide-boron oxide system. Mikhalkovich, L. N. (Rostov. Inzh.-Stroit. Inst., Rostov, USSR). *Zh. Neorg. Khim.* 1977, 22(5), 1433-5 (Russ). The ternary system Li₂O-P₂O₅-B₂O₃ was studied by visual polythermal, DTA, and x-ray phase anal. methods. Crystn. fields include Li₃PO₄, Li₄P₂O₇, LiPO₃, LiBO₂, Li₂B₄O₇, and BPO₄. Two eutectic points were obsd. at Li₂O 53, 45.7, P₂O₅ 45, 1, B₂O₃ 2, 53.5% and 586, 510°, resp. The region of glass formation was detd. The interaction between Li phosphates and borates is discussed. Three addnl. phases were found in the LiPO₃-LiBO₂ system which m. 740, 1038, 730°, resp. V. Burjau

C.A. 1977, 87 n 8

$\text{BF}_3 \cdot \text{OEt}_2$, $\text{BF}_3 \cdot \text{F}$, $\text{BF}_3 \cdot \text{H}_2\text{O}$

BK-1200 1977

$\text{BF}_3 \cdot \text{OEt}_2$, $\text{BF}_3 \cdot \text{H}_2\text{O}$

$\text{Na}_2\text{F} \cdot \text{OEt}_2$, $\text{Na}_2\text{F} \cdot \text{H}_2\text{O}$

$\text{K}_2\text{F} \cdot \text{OEt}_2$, $\text{K}_2\text{F} \cdot \text{H}_2\text{O}$

$\text{Rb}_2\text{F} \cdot \text{OEt}_2$, $\text{Rb}_2\text{F} \cdot \text{H}_2\text{O}$

$\text{Cs}_2\text{F} \cdot \text{OEt}_2$, $\text{Cs}_2\text{F} \cdot \text{H}_2\text{O}$

(Ac)

MR

$(\text{BF}_3 \cdot \text{OEt}_2, \text{BF}_3 \cdot \text{F}) \text{ and}$

Acetylacetone

Kaufman et al. *J. Org. Chem.*, 1974, 39, 118, 4128-4139

Chloro-Cresole complex - Acetylacetone
Reaction mixture with chloroform in excess will
form $\text{BF}_3 \cdot \text{OEt}_2$, $\text{BF}_3 \cdot \text{F}$.

Prepared, 1978, 1st 161 10, M

Q

LiAsF_6 , NaAsF_6 , KAsF_6 , RbAsF_6 , | 1978
 CsAsF_6 , LiPF_6 , NaPF_6 , KPF_6 , RbPF_6 , CsPF_6 ,
 LiBF_4 , NaBF_4 , KBF_4 , LiBOHF_3 , NaBOHF_3 , BX-1528
 KBBOHF_3 , $\text{Zn}(\text{NH}_2)_4$, $\text{Cd}(\text{NH}_2)_6$, $\text{Ni}(\text{NH}_3)_6(\text{T}_{\text{m}}, \text{T}_{\text{d}})$

Упомянутое Е.Г., Гордиенко П.С., Воронцов А.Н.
Ильинская М.Я., Кондуктор Б.Я., Истинина Г.И.
на 5-м Всес. симпоз. по химии неорг. фторидов.

Днепропетровск, 1978 г. № 1978, 131. Термодинамическое
исследование стабильных фторидов алюминия, гексафтор-
алюминий, тетрафторалюминий и алуминийфториды
и некоторые их производные.

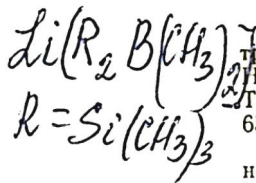
ДДИ ХХХХ, 1978

175934

ECTL. Ф. К.

5 (P)

BX-1528
Учеб. сер.
Ф.Л. ССЗ



состав,
(Tm)

10 В61. Тетракис-(trimethylsilyl)борат и другие
trimethylsilylboraty. Biffat-Werner, Nöth
Heinrich. Tetrakis(trimethylsilyl)borat und andere
Trimethylsilylborate. «Angew. Chem.», 1980, 92, № 1,
65—66 (нем.)

Взаимодействием LiR ($R=SiMe_3$) с $B(OMe)_3$ в гекса-
не при -70° получен комплекс $Li[BR_4]$ (I). Р-ция LiR и
 $R_3'B$ ($R'=Me, Et$) не приводит к синтезу I, а дает толь-
ко $Li(RBB_3')$ (II). Аналогично р-ция LiR и $Q(\mu-H)_2Q$
($Q=9$ -борабицикло[3.3.1]нонил-9) дает только $[R_2Q]Li$.
Взаимодействие LiR и $Me_2B(OMe)$ в соотношении 2 : 1
наряду с $Li[R_2BMe_2]$ главным продуктом (III), дает
еще BMe_3 и $Li[R_3BMe]$ (IV). I—IV — тв. в-ва, с т. пл.
 $127^\circ, 81$ и 87° для IV, II и I соотв., охарактеризованы
ПМР- и ЯМР- ^{11}B -спектрами. В ЯМР- ^{11}B -спектрах I—IV
наблюдается возрастание констант $^1J(^{11}B^{29}Si)$ от -48°
до -74 гц и смещение сигнала от $\delta=-53,4$ до
 $-28,5$ млн. д. с ростом числа R . В ПМР-спектре I при-
сутствует единственный сигнал от 36 эквивалентных
протонов, расщепленный в 1 : 1 : 1 : 1 квартет за счет
взаимодействия с атомом ^{11}B с константой $^1J(^{11}B^1H)=$
 $=1$ гц.

А. Курганов

Х.1980.110

1980

$\text{Li}_3[\text{B}_5\text{O}_8(\text{OH})_2] \cdot \text{II}$

1980

⑤ 22 Б360. Кристаллическая структура ромбической модификации Li-бората $\text{Li}_3[\text{B}_5\text{O}_8(\text{OH})_2]$ -II. Соколова Е. В., Ямнова Н. А., Белов Н. В. «Кристаллография», 1980, 25, № 4, 716—721

Проведено рентгеноструктурное исследование (дифрактометр, λMo , 1582 отражения, прямой метод, МНК в изотропно-анизотропном приближении до $R=0,052$) нового Li-бората, полученного методом гидротермального синтеза в системе $\text{ZnO}-\text{B}_2\text{O}_3-\text{H}_2\text{O}-\text{Li}_2\text{O}$ при $T=250^\circ$. Кристаллы ромбич., $a = 8,499$, $b = 9,308$, $c = 26,52 \text{ \AA}$, ρ (изм.) 2,4, ρ (выч.) 2,25, $Z = 12$, ф. гр. $Pn2b$. Основу структуры $\text{Li}_3[\text{B}_5\text{O}_8(\text{OH})_2]$ -II составляют слои из $\text{B}-\text{O}$ -групп $[\text{B}_5\text{O}_8(\text{OH})_2]$ (три B -тетраэдра и два B -треугольника), в плоскости к-рых расположены Li -тетраэдры.

Резюме

кристал.
струйей.

X. 1980 N 22

LiBGeO₄

1982

7 Б479. Структура и гидротермальный синтез фаз LiBGeO₄. Struktur und Hydrothermalsynthese von LiB-GeO₄-Phasen. Jendryan R., Klaska R. «Z. Kristallogr.», 1982, 159, № 1-4, 67—68 (нем.)

Гидротермальным синтезом в системе H₃BO₃—LiOH—GeO₂ при т-ре 240—420° под давл. 500 бар получены 3 типа фаз: 2 модификации LiBGeO₄, из к-рых одна характеризуется тетрагон. (I) (a 4,501 Å, c 6,898, ф. гр. I 4), а др.—монокл. решеткой (также объемноцентрированной); a 9,51, b 11,72, c 5,13, β 100°), и фаза не определенного точно состава с тетрагон. (4/mmm) решеткой (a 12,43, c 19,15). Проведено уточнение структуры I (R 3,3%). Тетраэдры вокруг атомов Ge, B и Li (Ge—O 1,754 Å, B—O 1,474, Li—O 1,993) соединяются вершинами в структуру типа BAsO₄, пр-ную от структурного типа кристобалита.

С. В. Соболева

Структура

X·1983, 19, № 2

$\text{Li}^+ \text{BX}_K^+$ 1983
 $X = H, F$ Ozerova V. dsl., Sotomoni
nik V. G. , et al.

$\Delta_f H$, $Zh. Strukt. khim.$ 1983,
 $\Delta_f S$; 24(2), 164-6.

(crys. $\text{Li}^+ \text{AX}_K^+$; ?)

Li₃B₁₄

1984

) 1 B7. Li₃B₁₄ — первое кристаллическое бинарное соединение лития с бором и его окислительно-восстановительные реакции с водой. Li₃B₁₄ — first crystalline binary lithium boron compound and its topotactical redox reaction with water. Maig G., Nesper R., Schneiring H. G. «10th Int. Symp. React. Solids, Dijon, 27 Aug. — 1 Sept., 1984». Dijon, 1984, 401—402 (англ.)

Методами РФА, ТГА, хим. и масс-спектрометрич. анализов изучен продукт взаимодействия Li с B и р-ция его с H₂O и разб. к-тами. Образуется красн. прозрачный Li₃B₁₄, имеющий крист. решетку ф. гр. 142 d, $a = 1076,3$ пм, $c = 894,8$ пм, $Z = 8$. Каркас атомов B состоит из замкнутых додекаэдров и гексадекаэдров, размещенных подобно атомам в структуре CaF₂. Каждый атом B входит в состав клозокластеров и имеет одну внешнюю связь. Додекаэдры в направлении [001]

*Кристал-
решетка*

X. 1986, 19, n/

образуют спирали, внутри к-рых имеются пересекающиеся каналы. Эти каналы частично заполнены атомами Li. При комн. т-ре Li_3B_{14} является полупроводником. Р-ция с H_2O протекает топотактически с выделением H_2 , сохранением борного каркаса и небольшой усадкой крист. решетки, меняется лишь заполнение структурных каналов.

Э. Г. Раков

LiBH_2

(DM-26116)

1986

Kaufmann E., Tidor B.,
et al.,

Flag

J. Compct. Chem., 1986,
7, N 3, 334-344.

Bopane Uelozwok
Uemarao

1986

108: 193729z. Thermodynamics of the melts, glasses and crystals of alkali metal borates and silicates. Shults, M. M. (Inst. Sil. Chem., Leningrad, 199164 USA). Collect. Pap. - Int. Congr. Glass, 14th 1986, 2, 249-56 (Eng). Indian Ceram. Soc.: Calcutta, India. Calorimetric, mass spectrometric and emf. methods were used to study the thermodn. properties of alkali metal borates and silicates. The calcds. made by using the primary exptl. data permitted to det. the main thermodn. functions: enthalpies, entropies, free energies of formation of glasses, crystals and melts in the systems studied.

memosuH.

④⊗

Cerrekan Uelozwok
Uemarao

c.A.1988, 108, n22

Li₃BN₂

1986

7 Б2056. Структура нового полиморфа бор-нитрида лития Li_3BN_2 . Structure of a new polymorph of lithium boron nitride, Li_3BN_2 . Yamane H., Kikkawa S., Horiochi H., Koizumi M. «J. Solid State Chem.», 1986, 65, № 1, 6—12 (англ.)

Проведен РСТА нового полиморфа Li_3BN_2 (I, λMo , анизотропный МНК, 1352 отражения, $R = 0,023$), полученного медленным охлаждением расплава, выдержанного при 1200 К в течение 7 ч. и содержащего $\text{Li}_3\text{N}/\text{BN} = 1,0—1,2$. I монокл.: $a = 5,150$, $b = 7,082$, $c = 6,790$ Å, $\beta = 112,95$, $Z = 4$, ф. гр. $P2_1/c$. В структуре I выделены 2 типа слоев, лежащих в плоскости, параллельной (100) и чередующихся по оси a через $1/4$. В одном слое находятся атомы Li и B, в др. — атомы N. В слое атомы Li тетраэдрически окружены атомами N. Атом N окру-

структура

X. 1987, 19, N 7

жен 6 атомами Li и 1 атомом В. На разностных синтезах Фурье установлено наличие электронов связи между атомами В и N. Соединение I является ионным проводником по атомам Li — значение электропроводимости поликрист. образца при 400 К равно $6 \cdot 10^{-5}$ см⁻¹, энергия активации 64 кДж/моль.

Г. Д. Илюшин

$\text{Li}_2\text{B}_4\text{D}_7$

1987

5 Е360. Получение и физические свойства моно-
кристаллов тетрабората лития. Борман К. Я., Бу-
рак Я. В., Перро И. Т., Кундзиньш М. А., Лысей-
ко И. Т. «Актуал. пробл. физ. и химии сегнетоэлектри-
ков». Рига, 1987, 140—153

Исследованы температурные зависимости теплового
расширения упругих свойств, микротвердость и ге-
нерация второй оптич. гармоники монокристаллов тет-
рабората лития ($\text{Li}_2\text{B}_4\text{D}_7$), выращенных методов Чох-
ральского.

термическое
расширение

φ. 1988, 18, N5

Li₃BN₂

1987

) 14 Б2063. Высоко- и низкотемпературные фазы борнитрида лития Li_3BN_2 : синтез, фазовые соотношения, кристаллическая структура и ионная проводимость. High- and low-temperature phases of lithium boron nitride, Li_3BN_2 : preparation, phase relation, crystal structure, and ionic conductivity. Yamane H., Kikkawa S., Koizumi M. «J. Solid State Chem.», 1987, 71, № 1, 1—11 (англ.)

Суперионный проводник Li_3BN_2 существует в виде 2 модификаций $\alpha\text{-Li}_3\text{BN}_2$ (**Ia**), $\beta\text{-Li}_3\text{BN}_2$ (**Ib**), к-рые м. б. получены нагреванием смесей $\text{Li}_3\text{N}/\text{BN}=1,1—1,0$ при 1070 (**Ia**), 1170 К (**Ib**). Фазовый переход **Ia** \rightarrow **Ib**, фиксируемый ДТА, происходит при 1135 К. Т-ра плавления **Ib** 1189 К, **Ia** кристаллизуется из переохлажденной жидкости при 1160 К. Проведен РСТА (λ Mo, 208 отражений, R 0,042) кристаллов **Ia**. Параметры тетрагон. решетки **Ia**: a 4,6435, c 5,2592 Å, Z 2, ρ (выч.) 7,747, ρ (изм.) 1,75, ф. гр. $P4_22_12$. Атомы В формируют вытянутую I-ячейку, каждый В линейно координирован

X. 1988, 19, N 14

2 N (B—N 1,339 Å). Ионы Li заселяют 2 кристаллографически различные позиции: $\text{Li}_{(1)}$ линейно координирован 2 N (Li—N 1,945 Å), $\text{Li}_{(2)}$ размещаются между $\text{Li}_{(1)}^+ (\text{NBN})^{3-}$ слоями и тетраэдрически координирован 4 N (Li—N 2,125 Å, угол NLiN 103,6—112,5°). При fazовом переходе Ia \rightarrow Iб за счет вращения $(\text{NBN})^{3-}$ КЧ $\text{Li}_{(1)}$ повышается до тетраэдрич. Li тетраэдры в Iб нерегулярны, а упаковка $(\text{NBN})^{3-}$ менее плотная, чем в Ia. Проведено сравнение Ia, Iб со структурами Li_3AlN_2 , Li_2CN_2 . Импедансным методом на частотах 5 Гц—500 кГц измерена ионная проводимость поликрист. образцов Ia, Iб: ΔE Ia 78, Iб 64 кДж/моль. Проводимость Iб при 400 К $3 \cdot 10^{-5}$ См·м⁻¹. Для образцов Ia, полученных различными способами, приведены I , d (hkl). В. Б. Калинин



α, β Li₃BN₂

1987

108: 85561e High- and low-temperature phases of lithium boron nitride, Li₃BN₂: preparation, phase relation, crystal structure, and ionic conductivity. Yamane, Hisanori; Kikkawa, Shinichi; Koizumi, Mitsue (Inst. Sci. Ind. Res., Osaka Univ., Ibaraki, Japan 567). *J. Solid State Chem.* 1987, 71(1), 1-11 (Eng). Low-(α) and high-(β) temp. phases of Li₃BN₂ were prep'd. from mixts. of Li₃N/BN = 1.1 - 1.0 in molar ratio at 1070 and 1170 K, resp. Phase relation between these phases was studied by annealing the products at various temps. and conducting DTA in a stream of N. The phase transition temp. is at \sim 1135 K. The m.p. of β -Li₃BN₂ is around 1189 K. α -Li₃BN₂ crystallizes directly from the undercooled liq. at 1160 K. α -Li₃BN₂ is tetragonal, space group P4₂2₁2, with a 4.6435(2) and c 5.2592(5) Å; d_c = 1.747 for Z = 2. Final R = 0.042 for 208 reflections. The lattice is composed of Li(1), Li(2), and linear (NBN)³⁻ ions. The Li(1) ion is also linearly coordinated to 2 N atoms. The Li(2) ion is at the center of a tetrahedron of N atoms. Li ion cond. of 3×10^{-6} S m⁻¹ was measured at 400 K on a polycryst. α -Li₃BN₂ specimen with an activation energy of 78 kJ/mol.

(μ_m , μ_{tr})

C.A. 1988, 108, N10

¹⁹⁸⁸
 $\text{Li}_2\text{Ba}_2\text{SiO}_6$ Шахмаджин Б.А., Юдина Е.А.,

Харизматичне життя місць
населених пунктів в ідеально-
городобудівних системах.

df,

XII Всеукраїнська конференція
по хіміческій термодинамі-
ції та коллоїдній хімії,

Мезиса спелодобных покладов,

ч. I, стр. 5, Торгкун, 1988.

Li-горали

1989

23 Б3043. Термодинамика и химическое строение боратных стекол / Ведищева Н. М., Шахматкин Б. А. // 14 Менделеев. съезд по общ. и прикл. химии: Реф. докл. и сообщ. Т. 1.— М., 1989.— С. 57.— Рус.

Методом калориметрии при 298 К изучены стекла и кристаллы след. двухкомпонентных систем: — щелочноборатные стекла, содержащие (в мол.%) 0—40 Li₂O, 0—35 Na₂O, 0—36 K₂O, 0—35 Rb₂O, 0—43 Cs₂O, а также кристаллы типа M₂O·nB₂O₃, где M=Li, n=1—3; M=Na, n=1—4; M=K, Rb, n=1—5; M=Cs, n=1—5, 9; — щелочноzemельноборатные стекла, содержащие (в мол.%) 43—45 MgO, 29—39 CaO, 26—40 SrO, 18—40 BaO, а также кристаллы CaO 2B₂O₃, CaO B₂O₃, 2CaO B₂O₃, 3CaO B₂O₃. Рассчитаны энталпии их образования из оксидов при 298 К. Показано, что при замене щел.-зем. оксидов на щел. энталпии образования бератов существенно возрастают, что связано с различными донорными способностями указанных оксидов металлов. Сделан вывод о связи энталпии об-

87(+4)

Х.1989, № 23

Na-горали, K-горали,

Rf - Горалич, Sj - Горалич.

разования стекол с нек-рыми атомными параметрами, образующих их элементов. С использованием этой корреляции и полученных эксперим. данных оценена степень полноты связи металл—кислород ($\text{ем}-\text{o}$) в боратных стеклах в зависимости от природы атомов металла, входящих в их состав. Значения параметра $\text{sm}-\text{o}$, полученные для стекол щел.-боратных щел.-зем-боратных систем, указывают на хим. взаимодействие их компонентов, к-рое приводит к образованию соединений. То есть, боратные стекла следует рассматривать не как смесь оксидов, а как р-р ряда солеобразных группировок, соотв-щих по составу соединениям, существующим в рассматриваемых системах. Кол-во группировок различного типа определяется составом стекла и может быть оценено на базе теории идеальных ассоциированных р-ров. Показано, что хим. строение боратных стекол определяется в основном группировками, отвечающими по составу наиболее устойчивым соединениям соотв-щих систем.

По резюме

LiBH

1991

Sara Michel Leroy G.

J. Mol. Struct. Theochem.

v. n., 1991, 226, N.3-4. C. 307 -

325.

4 fm

(coll.  LiH; $\frac{T}{T}$)

ЛиB•0,167Li

1992

18 Б3051. Анализ реакции между литием и бором методом ДСК. DSC analysis of the reaction between lithium and boron /Marčac-Grahek T., Bučovec P., Bučovec N. //Thermochim. acta.—1992.—194.—С. 385—389.—Англ.

Взаимодействие Li(l) с B(cr) при нагревании со скоростью 2, 5 и 10 К/мин в тиглях из нерж. СТ в интервале 25—1050° С исследовано методом ДСК, состав образующихся фаз при ступенчатом нагревании определяли методом РФА на Cu-K_α-излучении, камера Гинье-Симона. Экзотермич. процесс р-рения B в Li начинается при 340° С. Нагревание смеси до 700° С приводит к образованию LiB•0,167Li при 467° С, примесными фазами являются Li₃N, Li₂O и LiOH, к-рые образуются при взаимодействии Li со следами влаги и воздуха. При 913° С фаза LiB•xLi распадается обратимо на LiB и расплав. Охлаждение смеси до 852° С обратимо приводит к образованию LiB•xLi.

Л. А. Резницкий

X. 1993, N 18

LiB(OH)_4 (k)

1994

120: 254769] Thermodynamics of mixture of boric acid with lithium borate and chloride. Wang, Dongbao; Song, Pengsheng; Yang, Jiazheng (Inst. Salt Lakes, Chin. Acad. Sci., Xining, Peop. Rep. China 810008). *Chin. J. Chem.* 1994, 12(2), 97-104 (Eng).
The first thermodn. dissoci. consts. of boric acid in aq. soln. of lithium chloride with borate at five different temps. from 278.15 to 318.15 K were evaluated from emf values of the cell without liq. junction potential with the improved extrapolation and polynomial approxn. on the basis of Pitzer's theory. Values obtained from both methods are in good agreement with each other. Pitzer's parameters $\beta^{(0)}$ and $\beta^{(1)}$ of LiB(OH)_4 and other thermodn. quantities of dissociation process of boric acid are obtained. The results are discussed.

C.A. 1994, 120, N20

$\text{Li}_2\text{B}_4\text{O}_7$ - Li_2SO_4 - LiCl - H_2O
cucmema

1998

130: 43907w Heats of dilution, heat capacities and apparent molal enthalpies of $\text{Li}_2\text{B}_4\text{O}_7$ - Li_2SO_4 - LiCl - H_2O systems at 298.15 K.
Li, J. C.; Wei, J. H.; Gao, S. Y.; Li, J. C.; Wei, J. H.; Gao, S. Y.
(Qinghai Institute of Salt Lakes, Academia Sinica, Xining, Peop. Rep. China 810008). *J. Therm. Anal. Calorim.* 1998, 52(2), 497-504 (Eng), Kluwer Academic Publishers. The heats of diln. and heat capacities of the $\text{Li}_2\text{B}_4\text{O}_7$ - Li_2SO_4 - LiCl - H_2O quaternary system and the $\text{Li}_2\text{B}_4\text{O}_7$ - Li_2SO_4 - H_2O and $\text{Li}_2\text{B}_4\text{O}_7$ - LiCl - H_2O ternary systems were measured in the range of ionic strengths from 19 to 0.1 at 298.15 K. The data of the heat of diln. were extrapolated to infinite diln. by use of the Debye-Huckel limiting law to obtain relative apparent molal enthalpies over the range of ionic strengths I from 19 to 0.0001.

(ΔH_{dil} , G,
H-H)

C. A. 1999, 130, v4

1998

Li₂B₄O₇·3H₂O

LiB₅O₈·5H₂O

ΔH_f soln &
HCl(aq)

129: 180714z Thermochemistry of hydrated lithium borates. Li, Jun; Bing, Li; Gao, Shiyang (Xi'an Branch, Institute of Salt Lakes, Chinese Academy of Sciences, Xi'an, Peop. Rep. China). *J. Chem. Thermodyn.* 1998, 30(6), 681–688 (Eng), Academic Press. The enthalpies of soln. of the hydrated lithium borates $\text{Li}_2\text{B}_4\text{O}_7 \cdot 3\text{H}_2\text{O}$ and $\text{LiB}_5\text{O}_8 \cdot 5\text{H}_2\text{O}$ in approx. 1 mol·dm⁻³ aq. hydrochloric acid, as well as the enthalpies of soln. of H_3BO_3 in HCl(aq) and of $\text{LiCl} \cdot \text{H}_2\text{O}$ in aq. (hydrochloric acid + boric acid) were detd. With the incorporation of the std. molar enthalpies of formation $\Delta_f H_m^\circ$ of $\text{LiCl} \cdot \text{H}_2\text{O}(s)$, $\text{H}_3\text{BO}_3(s)$, and $\text{H}_2\text{O}(l)$, the std. molar enthalpies of formation of these hydrated borates were obtained. An approach to correlate $\Delta_f H_m^\circ$ of hydrated borates with $\Delta_f H_m^\circ$ of corresponding cations in aq. soln. and $\Delta_f H_m^\circ(\text{H}_2\text{O}, l)$ was suggested from the point of view of structures. (c) 1998 Academic Press.

(12)



CA 1998, 129, 114

H_3BO_3 (ΔH_f soln, 8HCl(aq))
 $\text{LiCl} \cdot \text{H}_2\text{O}$ (ΔH_f soln, 4HCl)

Li_3BN_2

1999

McHall, F.M.; et al.,

Chem. Mater. 1999,

(ΔH_f°) 11(9), 1148-1152

(all-BN; I)

$\text{Li}^+ \text{B(OH)}_4^-$

2000

meritlogue

133: 22996w Thermodynamics of ionic association. 1. The standard association constant of the ion pair $\text{Li}^+\text{B(OH)}_4^-$. Yang, Jia-Zhen; Sun, Bai; Song, Peng-Sheng (Department of Chemistry, Liaoning University, Shenyang, Peop. Rep. China 110036). *Thermochim. Acta* 2000, 352-353, 69-74 (Eng), Elsevier Science B.V. Values of emf for the cell without liq. junction Pt, H_2 (101.325 kPa) | $\text{Li}_2\text{B}_4\text{O}_7$ (m_1), LiCl (m_2) | $\text{AgCl}-\text{Ag}$ are reported at five temps. from 278.15 to 318.15 K. The std. assocn. const. of ionic pair $\text{Li}^+\text{B(OH)}_4^-$, K_n , is detd. by a fitting with the cell results. The dependence of $\text{p}K_n$ on temp. T is expressed in an empirical equation: $\text{p}K_n = -131.6K/T - 0.08996 - 1.856 \times 10^{-3} T/K$. The other thermodn. quantities of the assocn. process are calcd. and show that there truly exists an ion pair $\text{Li}^+\text{B(OH)}_4^-$ and the driving force for the ion assocn. reaction is assocn. entropy.

C.A. 2000, 133, N2

$\text{Li}_2\text{B}(\text{OH})_4\text{Cl}$

2001

(m.X)

135: 232353b Thermochemistry of tepleite. Shuguang C.; Jun, L.; Bing, L. (Xi'an Branch, Institute of Salt Lakes, The Chinese Academy of Sciences, Xi'an, Peop. Rep. China 710043). *Thermochim. Acta* 2001, 376(2), 169–174 (Eng), Elsevier Science B.V. The enthalpy of soln. of tepleite, $\text{Na}_2\text{B}(\text{OH})_4\text{Cl}$, in approx. 1 mol dm^{-3} aq. hydrochloric acid was detd. Together with the previously detd. enthalpies of soln. of H_3BO_3 in approx. 1 mol dm^{-3} HCl(aq), and of NaCl in aq. (hydrochloric acid + boric acid), the std. molar enthalpy of formation of $-2007.98 \pm 0.84 \text{ J K}^{-1} \text{ mol}^{-1}$ for $\text{Na}_2\text{B}(\text{OH})_4\text{Cl}$ was obtained from the std. molar enthalpies of formation $\text{NaCl}(\text{s})$, $\text{H}_3\text{BO}_3(\text{s})$, and $\text{H}_2\text{O}(\text{l})$. The std. molar entropy of formation of $-700.59 \text{ J K}^{-1} \text{ mol}^{-1}$ and std. molar entropy of $190.62 \text{ J K}^{-1} \text{ mol}^{-1}$ for $\text{Na}_2\text{B}(\text{OH})_4\text{Cl}$ were calcd. from the thermodyn. relations. The group contribution method by Li is applicable to tepleite.

(t)

Q

(C)

C.R. 2001, 135, N76.